Errata

(Mathematische Einführung in Data Science von Sven-Ake Wegner) 8. Juni 2025

■ Seite 10, Zeile -1:

$$\sum_{i=1}^{n} (x_i - \overline{x})(y_i - \overline{y}) = \sum_{i=1}^{n} x_i y_i - \overline{y} \sum_{i=1}^{n} x_i - \overline{x} \sum_{i=1}^{n} y_i + n \overline{x} \overline{y} = \left(\sum_{i=1}^{n} x_i y_i\right) - n \overline{x} \overline{y}.$$

■ Seite 11, Zeile -1:

$$0 = \sum_{i=1}^{n} (ax_i + b - y_i) = a \sum_{i=1}^{n} x_i + nb - \sum_{i=1}^{n} y_i = an\overline{x} + nb - n\overline{y},$$

- Seite 13, Zeile 22: Seitenlänge
- Seite 15, Zeile -10: ... konstante Zufallsvariable av.
- Seite 15, Zeile -3 und Seite 16, Zeile 2: $Var(xE)^{(n)}$
- Seite 15, Zeile $-2: \cdots + \frac{2}{n^2} \sum_{i \leq j} x_i x_j \operatorname{E}(\mathcal{E}_i) \operatorname{E} \mathcal{E}_j)$
- Seite 16, Zeile 3: da $\overline{x^{(n)^2}} = \text{var}(x^{(n)}) + \overline{x^{(n)}}^2$ als Summe . . .
- Seite 17, Zeile 8: Ist Letzteres der Fall, so ist $\operatorname{sign}(r_{xy}) = \operatorname{sign}(\langle \mathbf{u}, \mathbf{v} \rangle) = \cdots$
- Seite 17, Zeile 11: r_{xy}
- Seite 18, Zeile $-3: \dots f^*(x) = \langle a^*, x \rangle + b^* \dots$
- Seite 19, Zeile −6: ... berechnen wir (mit nur für den Moment $\phi(\tilde{a}) = \langle \tilde{a}, X^{\mathrm{T}} X \tilde{a} \rangle$):
- Seite 25, Zeile -5: Im Bild muss es die z-Achse sein.
- Page 26, Zeile 9: ... und $(w,b) = (w_1, \ldots, \frac{\mathbf{w}_d}{\mathbf{v}_d}, b)$ für ...
- Seite 26, Zeile 18: $f(z) = sig(\langle w, \cdot \rangle)$
- Seite 26, Zeile −1: $P[Y_i(f) = y_i \text{ fi alle } i] = \cdots$
- Seite 27, Zeile 2: $L: \{f: \mathbb{R}^d \to (0,1) \mid f \text{ logistische Funktion}\} \to \mathbb{R}$
- Seite 26, Zeile -1: h'(t) = sig(t) + 1
- Seite 30, Seite 6: ... überlappen, wenn für jedes $w \in \mathbb{R}^{d+1} \setminus \{0\}$ ein k existiert, ...
- Seite 30, Zeile 9: falls $\operatorname{sig}(\langle w, \hat{x} \rangle) \geqslant 1/2$
- Seite 31, Zeile 12: ... und $\langle w, \widehat{w}_k \rangle < 0$ gelten.
- Seite 38, Zeile 13: ... und $x_1, \ldots, x_k \in D_1 := \{x \mid (x, y) \in D\}$ gelten.
- Seite 38, Zeile 14: $x_1 \in \underset{z \in D_1}{\operatorname{argmin}} \rho(x, z)$ sowie $x_j \in \underset{z \in D_1}{\operatorname{argmin}} \rho(x, z)$ für $j \ge 2$
- Seite 38, Zeile 20: $f(x) \in \underset{y \in Y}{\operatorname{argmax}} N(y)$
- Page 37, Line 1–9:

```
1: function K-NN KLASSIFIZIERER(D, k, x)

2: D' \leftarrow D, A \leftarrow \emptyset

3: for j \leftarrow 1 to k do

4: z^* \leftarrow \operatorname{argmin}_{z \in D'} \rho(x, \pi_1(z))

5: A \leftarrow A \cup \{z^*\}, D' \leftarrow D' \setminus \{z^*\}

6: for y in Y do

7: N(y) \leftarrow \#\{a \in A \mid \pi_2(a) = y\}

8: \ell \leftarrow \operatorname{argmax}_{y \in Y} N(y)

9: return \ell
```

Hierbei bezeichnet $\pi_2(x,y) = y$ die Projektion auf den zweiten Eintrag von $(x,y) \in D$ und y^* das Label von z^* .

- \blacksquare Seite 39, Zeile $-2:\dots$ vorgenannten grauen Punkt \pmb{x} mit \dots
- Seite 41, Zeile 6–7: ... Trainingsdaten D_{Train} und $Testdaten\ D_{\text{Test}}$. Dann bestimmt man einen Klassifizierer $f\colon X\to Y$ anhand von D_{Train} , und stellt fest, welcher Anteil der Punkte aus D_{Test} durch f korrekt klassifiziert wird.

- Seite 41, Zeile 16: ..., sowie k < n.
- Seite 41, Zeile 17: Die Berechnung der k-nächsten Nachbarn von x kann so implementiert werden, dass dabei höchstens $(\mathbf{n} \cdot \mathbf{d} \cdot \mathbf{k})$ -viele Mulitplikationen anfallen.
- Seite 41, Zeile 21: In der euklidischen Metrik müssen für eine solche Distanz (d-1)-viele Multiplikationen ausgeführt werden, wenn wir für die Berechnung des Argmin die Wurzel weglassen. Dies führt auf

$$(d-1)\cdot (n+(n-1)+\cdots+(n-k+1)) \leqslant C\cdot d\cdot k\cdot n$$

Multiplikationen mit einem geeigneten $C \in \mathbb{N}$.

- Seite 42, Zeile 7: ..., wählen wir k-nächste Nachbarn x_1, \ldots, x_k von x und bezeichnen mit y_1, \ldots, y_k deren Label.
- Seite 42, Zeile 13: $f: X \to Y$, $f(x) = \frac{\sum\limits_{i=1}^k w(x_i, x) \cdot y_i}{\sum\limits_{i=1}^k w(x_i, x)}$
- Seite 43, Zeile 11: $\tilde{x}^{(i)} = \left(a + \frac{(x_1^{(i)} \min_{j=1,\dots,n} x_1^{(j)})(b-a)}{\max_{j=1,\dots,n} x_1^{(j)} \min_{j=1,\dots,n} x_1^{(j)}}, \dots\right)$
- Seite 43, Zeile 13: $\tilde{x}^{(i)} = \left(\frac{x_1^{(i)} \overline{x_1^{(i)}}}{\sigma_1}, \dots\right)$
- Seite 44, Zeile -9: $\rho(x^{(1)}, x^{(4)}) = 3.681$
- Seite 48, Zeile 5-6: ..., dass sich die Texte 1 und 2 deutlich kosinusähnlicher sind als 1 und 3 bzw. 2 und 3.
- Seite 48, Zeile 16: Einige solcher Methoden diskutieren wir in Aufgabe 3.10.
- Seite 48, Zeile 26: Der Kosinusabstand wird hingegen immer kleiner, je öfter das Wort im zweiten Text auftritt. Der Kosinusabstand verhält sich hier natürlicher, weil sich der Skalarprodukt vergrößert, wenn sich die Häufigkeit des fixierte Wortes im zweiten Text erhöht.
- Seite 52, Zeile −14: *D*
- Seite 54, Zeile 12: Für endliche Teilmengen $A, B \subseteq X$ definieren wir ...
- Seite 55, Zeile 21–23: ... bevor der minimale Abstand zwischen den Clustern in der nächsten Runde erstmalig über einen einzugebenden Wert $\delta > 0$ wachsen würde.
- Seite 55, Zeile 24:

```
1: function Verknüpfungsbasiertes Clustering (X, \rho, D, \delta)
           k \leftarrow \#D
 2:
           for i \leftarrow 1 to k do
 3:
                C_i \leftarrow \{x_i\}
 4:
           while \min_{i\neq j} \rho(C_i, C_j) \leq \delta and k \geq 2 do
 5:
 6:
                (i^*, j^*) \leftarrow \operatorname{argmin}_{i \neq j} \rho(C_i, C_j)
 7:
                for \ell \leftarrow 1 to k-1 do
 8:
                      if \ell = \min(i^*, j^*) then
 9:
                           C_{\ell} \leftarrow C_{i^*} \cup C_{i^*}
10:
                      if \ell = \max(i^*, j^*) then
11:
                           m \leftarrow 1
12:
                           C_{\ell} \leftarrow C_{\ell+m}
13:
                      else C_{\ell} \leftarrow C_{\ell+m}
14:
15:
                k \leftarrow k - 1
16:
           return C_1, \ldots, C_k
17:
```

- Seite 56, Zeile 4: ..., wie in Definition 4.2, ...
- Seite 56, Zeile 8: Aufgabe 4.2
- Seite 56, Zeile $-2: K: \mathcal{C}_{k} \to \mathbb{R}$

- Seite 58, Zeile −16: Der folgende Pseudocode approximiert einen Minimierer der k-means-Kostenfunktion.
- Seite 58, Pseudocode:

```
1: function K-MEANS (D, k, X, \rho)
            \mu_1, \ldots, \mu_k \leftarrow \text{pairwise different points from } X
 2:
            for i \leftarrow 1 to k do
 3:
                  C_i \leftarrow \{x \in D \mid i \in \operatorname{argmin}_{j=1,\dots,k} \rho(x,\mu_j)\}
 4:
            U \leftarrow \text{True}
 5:
            while U = \text{True do}
 6:
 7:
                  U \leftarrow \text{False}
                  for i \leftarrow 1 to k do
 8:
                        \mu_i \leftarrow \mu(C_i)
 9:
                   for i \leftarrow 1 to k do
10:
                        C'_i \leftarrow \{x \in D \mid i \in \operatorname{argmin}_{j=1,\dots,k} \rho(x,\mu_j)\}
11:
                        if C'_i \neq C_i

C_i \leftarrow C'_i

U \leftarrow \text{True}
12:
13:
14:
15:
            return C_1, \ldots, C_k
```

Hierbei ist in den Zeilen 4 und 9 darauf zu achten, dass man jeweils ein i im Argmin auswählt, falls dieses nicht eindeutig ist.

■ Seite 59, Zeile 8:

$$\mu(A) \in \operatorname*{argmin}_{\mu \in A} \sum_{x \in A} \rho(x,\mu)^2 \quad \text{bzw.} \quad \mu(A) \in \operatorname*{argmin}_{\mu \in \textbf{X}} \sum_{x \in A} \rho(x,\mu)$$

- Seite 59, Zeile -5: Beweis. Für $j \ge 1$ bezeichne $(C_1^{(j)}, \ldots, C_k^{(j)})$ das Clustering, welches in der j-ten Runde des Algorithmus definiert wird.
- Seite 59, Zeile −2: $K(C_1^{(j)}, \dots, C_k^{(j)}) = \min_{\mu_1, \dots, \mu_k \in \mathbf{X}} \sum_{i=1}^k \sum_{x \in C_i^{(j)}} \rho(x, \mu_i)^2$
- Seite 60, Zeile 5: ... Zeile 11 von Algorithmus ...
- Dort entspricht Bild 1b der vorletzten Zeile in der Abschätzung und Bild 2a der darüber.
- Seite 60, Zeile 13: weil wir ja gerade wegen $\rho(x_3, \mu_1) < \rho(x_3, \mu_2)$ den Punkt x_3 vom Cluster C_2 in Bild 1b zu Cluster C_1 in Bild 2a verschoben haben.
- Seite 62, Zeile 4: Mittelpunkten Startwerten
- \blacksquare Seite 62, Zeile 5: $\operatorname{argmin}_{i=1,2}\|x-\mu_i\|$
- Seite 64, Zeile 7: ... sondern mur z.B. nur durch eine Liste ...
- Seite 64, Zeile 10: $A = (a_{ij})_{i,j=1,...,n}$
- Seite 64, Zeile 12: $L = (\ell_{ij})_{i,j=1,\dots,n}$
- Seite 65, Zeile 11: Wir beginnen mit zwei Beispielen.
- Seite 66, Zeile 2: ... In Beispiel 5.7 ist $\lambda_2 \neq 0$ und es gibt keine Cluster (oder anders ausgedrückt nur ein einziges), in Beispiel 5.8 ...
- Seite 69, Zeile 15: Für die andere Richtung sei $\{v_1, \ldots, v_n\}$ eine Basis aus Eigenvektoren zu den λ_i und $U \subseteq \mathbb{R}^n$ ein Unterraum mit dim U = n k + 1. Dann ist aus Dimensionsgründen $U \cap \text{span}\{v_1, \ldots, v_k\} \neq \{0\}$ und wir können $0 \neq x = \alpha_1 v_1 + \cdots + \alpha_k v_k \in U$ wählen. Dann folgt

$$\frac{\langle x, Mx \rangle}{\langle x, x \rangle} = \frac{\sum_{i=1}^{k} \lambda_i \alpha_i^2}{\sum_{i=1}^{k} \alpha_i^2} \leqslant \frac{\lambda_k \sum_{i=1}^{k} \alpha_i^2}{\sum_{i=1}^{k} \alpha_i^2} = \lambda_k,$$

weil die λ_i wachsend sind. Damit erhalten wir $\min_{0 \neq x \in U} \frac{\langle x, Mx \rangle}{\langle x, x \rangle} \leqslant \lambda_k$ und es folgt

$$\max_{\substack{U\subseteq\mathbb{R}^n\\\dim U=n-k+1}} \ \min_{\substack{x\in U\\x\neq 0}} \ \frac{\langle x,Mx\rangle}{\langle x,x\rangle} \leqslant \lambda_k.$$

- Seite 70, Zeile 3–4: Wir wählen $v_1 = 1$ als Eigenvektor zum Eigenwert λ_1 . Dann gelten für Eigenwert und Eigenvektor λ_2 bzw. v_2 mit $||v_2|| = 1$...
- Seite 70, Zeile 7: $v_2 \in \cdots$
- Seite 70, Zeile -3: Sei G = (V, E) ein Graph mit $\deg(v) > 0$ für alle $v \in V$.
- Seite 71, Zeile 5: $\emptyset \neq S \subset V$
- Seite 72, Zeilen 6 und 8: $\emptyset \neq S \subset V$
- Seite 72, Zeile -4:

$$\lambda_2(\mathcal{L}) = \min_{\substack{x \neq 0 \\ \langle \mathbf{Dx}, \mathbf{1} \rangle = 0}} \frac{\sum\limits_{\{i,j\} \in E} (x_i - x_j)^2}{\sum\limits_{i=1}^n x_i^2 d_i}.$$

■ Seite 73, Zeile 2:

$$\mathcal{L}D^{1/2}\mathbb{1} = D^{-1/2}LD^{-1/2}D^{1/2}\mathbb{1} = D^{-1/2}L\mathbb{1} = D^{-1/2}0\mathbb{1} = 0D^{1/2}\mathbb{1}.$$

■ Seite 73, Zeile 4:

$$\begin{array}{lll} \lambda_2(\mathcal{L}) & = \min\limits_{\substack{\uparrow \\ \text{Satz} \\ 5.13}} \frac{\langle x, \mathcal{L}x \rangle}{\langle x, D^{1/2} \mathbb{1} \rangle = 0} & \stackrel{(*)}{=} \min\limits_{\substack{y \neq 0 \\ \langle D^{1/2}y, D^{1/2} \mathbb{1} \rangle = 0}} \frac{\langle D^{1/2}y, \mathcal{L}D^{1/2}y \rangle}{\langle D^{1/2}y, D^{1/2}y \rangle} \\ & = \min\limits_{\substack{y \neq 0 \\ \langle y, D \mathbb{1} \rangle = 0}} \frac{\langle y, Ly \rangle}{\langle y, Dy \rangle} & = \min\limits_{\substack{y \neq 0 \\ \langle Dy, \mathbb{1} \rangle = 0}} \frac{\sum_{\{i, j\} \in E} (y_i - y_j)^2}{\sum_{i=1}^n y_i^2 d_i} \end{array}$$

- Seite 73, Zeile 10: Ist G d-regulär (d.h., es gilt $\deg(v) = d$ für alle Vertices $v \in V$ mit einem $d \in \mathbb{N}$), so gilt . . .
- Seite 73, Zeile -9: (ii) Für $r \leq k \leq \frac{n-1}{2}$ gelten ...
- Seite 73, Zeile -2:

$$\operatorname{vol} S_k^{c} - \operatorname{vol} S_{k+1}^{c} = \sum_{i=k+1}^n d_i - \sum_{i=k+2}^n d_i = d_{k+1}$$

- Seite 74, Zeile 15: $\emptyset \neq S \subset V$
- Seite 74, Zeile 16: $\frac{\#\partial S}{\text{Vol }S}$
- Seite 74, Zeile 20:

$$\langle Dx, \mathbb{1} \rangle = \sum_{i=1}^n d_i x_i = \dots$$

■ Seite 75, Zeile 7–8:

$$\cdots = \operatorname{vol} S - \operatorname{vol} \frac{S}{\operatorname{vol} S + \operatorname{vol} S^{c}}$$
$$\geqslant \operatorname{vol} S - \operatorname{vol} \frac{S}{2 \operatorname{vol} S},$$

■ Seite 75, Zeile -6 (Gleichung (5.2)):

$$\cdots$$
 und $\langle Dx, \mathbb{1} \rangle = \sum_{i=1}^{n} d_i x_i = 0$

- Seite 75, Zeile -5: ..., zu zeigen, dass $\lambda_2 \geqslant \alpha^2/2$ ist, ...
- Seite 76, Zeile 4:

$$\begin{bmatrix} x_1 - x_r \\ \vdots \\ x_{r-1} - x_r \\ 0 \\ x_{r+1} - x_r \\ \vdots \\ x_n - x_r \end{bmatrix} = \begin{bmatrix} x_1 - x_r \\ \vdots \\ x_{r-1} - x_r \\ 0 \\ 0 \\ \vdots \\ 0 \end{bmatrix} - \begin{bmatrix} 0 \\ \vdots \\ 0 \\ 0 \\ x_r - x_{r+1} \\ \vdots \\ x_r - x_n \end{bmatrix} =: p - n.$$

■ Seite 77, Zeile 4:

$$\lambda_{2} = \frac{\sum_{\{i,j\} \in E} (x_{i} - x_{j})^{2}}{\sum_{i=1}^{n} x_{i}^{2} d_{i}}$$

$$\geqslant \frac{\sum_{\{i,j\} \in E} ((p_{i} - p_{j})^{2} + (n_{i} - n_{j})^{2})}{\sum_{i=1}^{n} (p_{i}^{2} + n_{i}^{2}) d_{i}}$$

$$\stackrel{(5.3)}{=} \frac{\sum_{\{i,j\} \in E} (p_{i} - p_{j})^{2} + \sum_{\{i,j\} \in E} (n_{i} - n_{j})^{2}}{\sum_{i=1}^{n} p_{i}^{2} d_{i} + \sum_{i=1}^{n} n_{i}^{2} d_{i}}$$

$$\geqslant \min\left(\frac{\sum_{\{i,j\} \in E} (p_{i} - p_{j})^{2}}{\sum_{i=1}^{n} p_{i}^{2} d_{i}}, \frac{\sum_{\{i,j\} \in E} (n_{i} - n_{j})^{2}}{\sum_{i=1}^{n} n_{i}^{2} d_{i}}\right)$$

$$= \min\left(\frac{\sum_{\{i,j\} \in E} (p_{i} - p_{j})^{2}}{\sum_{i=1}^{n} p_{i}^{2} d_{i}} \cdot \frac{\sum_{\{i,j\} \in E} (p_{i} + p_{j})^{2}}{\sum_{\{i,j\} \in E} (p_{i} + p_{j})^{2}}, \dots\right)$$

$$=: \min\left(\frac{Z}{N}, \dots\right).$$

■ Seite 77, Zeile 14:

$$N = \sum_{i=1}^{n} p_i^2 d_i \cdot \sum_{\{i,j\} \in E} (p_i + p_j)^2 \geqslant \sum_{\substack{\uparrow \\ (5.5)}}^{n} p_i^2 d_i \cdot \sum_{\{i,j\} \in E} 2(p_i^2 + p_j^2)$$

■ Seite 78, Zeile 10:

$$\cdots = \int_{\substack{\text{Teleskop-summe} \\ \text{summe}}} \left(\sum_{i=1}^{n-1} \sum_{j=i+1}^{n} \mathbb{1}_{E}(i,j) \sum_{k=i}^{j-1} \left(p_k^2 - p_{k+1}^2 \right) \right)^2$$

■ Seite 79, Zeile 13: Als Letztes wollen wir noch notieren, dass Satz 5.21 zusammen mit Bemerkung 5.17(i) eine obere Schranke für den Eigenwert $\lambda_2(\mathcal{L})$ liefert.

Korollar 5.22. Sei G = (V, E) ein Graph mit $\deg(i) > 0$ für alle $i \in V$. Dann gilt für den zweitkleinsten Eigenwert λ_2 der normalisierten Laplacematrix von G die Abschätzung $\lambda_2 \leq 2$.

- Seite 84, Zeile -3: Sei eine Datenmenge $D = \{x_1, \ldots, x_n\} \subseteq \mathbb{R}^d$ optimieren, ...
- Seite 85, Line 5:

$$\sum_{j=1}^{k} \|Xv_j\|^2 \geqslant \sum_{j=1}^{k} \|Xw_j\|^2$$

■ Seite 85, Zeile -5:

$$\{v_1, \dots, v_k\} \in \operatorname*{argmax}_{\substack{\{ ilde{v}_1, \dots, ilde{v}_k\} \subseteq \mathbb{R}^d \ \text{orthonormal}}} \sum_{j=1}^n \|X ilde{v}_j\|^2.$$

- Seite 86, Zeile 16: Sei $D = \{x_1, \dots, x_n\} \subseteq \mathbb{R}^d$ gegeben und ...
- \blacksquare Seite 86, Zeile 19: sukzessive für $j=1,\ldots, k$ wählen, wobei \ldots
- Seite 87, Zeile 5: $\langle \boldsymbol{w_{k+1}}, v_i \rangle = \langle \boldsymbol{w_{k+1}}, \underbrace{v_i \pi_W(v_i)}_{\mid W} \rangle + \langle \boldsymbol{w_{k+1}}, \underbrace{\pi_W(v_i)}_{\in U} \rangle = 0 + 0 = 0$
- Seite 87, Zeilen 11 und 14: AX
- Seite 88, Line -11: Sei $D = \{x_1, \dots, x_n\} \subseteq \mathbb{R}^d$ gegeben und ...
- Seite 88, Zeile -7: ..., falls $r = \dim \operatorname{span} D > 0$. Falls r = 0, so sind alle σ_k Null.
- Seite 88, Zeile -5: Für $k \ge r+1$ wenden wir die Gleichung aus dem Beweis von Lemma 6.2 zweimal an. Einerseits auf V_k mit ONB $\{v_1, \ldots, v_k\}$, und andererseits auf V_{k-1} mit ONB $\{v_1, \ldots, v_{k-1}\}$. Durch Umstellen erhalten wir

$$\sigma_k^2 = ||Xv_k||^2 = \sum_{i=1}^n \operatorname{dist}(x_i, V_{k-1})^2 - \sum_{i=1}^n \operatorname{dist}(x_i, V_k)^2.$$

Weil $V_r \subseteq V_{k-1} \subseteq V_k$ gilt, impliziert Lemma 6.4 dass beide Terme auf der rechten Seite verschwinden, also $\sigma_{r+1}, \ldots, \sigma_d = 0$ gilt.

- Seite 89, Zeile −9: Bestimmen Sie, durch Anwendung von Theorem 6.3 in Kombination mit einem Python Paket zur Maximierung unter nichtlinearen Nebenbedinungen, einen 1-bestpassenden Unterraum zu . . .
- Seite 91, Zeile 12: ... Singulärwert von A, ...
- Seite 92, Zeile 8: $||u||^2 = ||Av||^2 = \langle Av, Av \rangle = \cdots$
- Seite 95, Zeile 6: Ist $1 \leq k < p$ und haben wir $\sigma_{k+1} = \cdots = \sigma_p = 0, \ldots$
- Seite 96, Zeile -9: $V \in \mathbb{R}^{d \times d}$
- Seite 96, Zeile -8: Dann sind genau r-viele der σ_i ungleich Null. Dies sind die Singulärwere von A . . .
- Seite 98, Zeile 6: ..., so erhält man ebenfalls eine Singulärwertzerlegung (beachte, dass man dann zuerst die u_i 's erhält und die v_i durch Anwendung von A^{T} entstehen).
- Seite 98, Zeile 8: ... und $\{v_1, \ldots, v_r\}$ irgendein Orthonormalsystem ...
- Seite 98, Zeile 11: Per Konstruktion sind die im Satz angegebenen v_1, \ldots, v_r ein Orthonormalsystem.
- Seite 98, Zeile 20:

$$||Av||^2 = \langle v, A^{\mathrm{T}}Av \rangle = \langle v, B \operatorname{diag}(\cdots)B^{\mathrm{T}}v \rangle = \langle B^{\mathrm{T}}v, \operatorname{diag}(\cdots)B^{\mathrm{T}}v \rangle = \sum_{i=1}^r \lambda_j^2 (B^{\mathrm{T}}v)_j^2$$

Im gesamten restlichen Beweis müssen die Quadrate an den Eigenwerten λ_j ebenfalls gestrichen werden!

- Seite 99, Zeile -4: ... Nach Lemma 7.3 ist daher v_i ein Eigenvektor von A^TA zum Eigenwert σ_i^2 for i = 1, ..., k.
- Seite 101, Zeile 6: $v = \begin{bmatrix} 0 \\ \vdots \\ 0 \\ \frac{\sigma_{k+1}}{w_{k+1}} \end{bmatrix} / \left\| \begin{bmatrix} 0 \\ \vdots \\ 0 \\ \frac{\sigma_{k+1}}{w_{k+1}} \end{bmatrix} \right\|$
- Seite 101, Zeile 8: ..., wollen wir noch diskutieren in wie fern die Singulärwertzerlegung den Satz über die orthogonale Diagonalisierbarkeit in der Tat verallgemeinert.
- Seite 101, Zeile 11: **Proposition 7.14.** Sei $A \in \mathbb{R}^{n \times n}$ eine symmetrische und positiv semi-definite Matrix, . . .
- Seite 101, Zeile 22: Multiplikation mit V^{T} von links in Proposition 7.14 liefert also genau eine, wie ganz am Anfang des Kapitels angegebene, orthogonale Diagonalisierung $V^{T}AV = \text{diag}(\sigma_{1}, \ldots, \sigma_{r}, 0, \ldots, 0)$; allerdings nur unter der Zusatzannahme, dass A positiv semidefinit ist.
- Seite 102, Zeile 17: $r = \operatorname{rk}(A)$
- \blacksquare Seite 104, Zeile 15: Beweis. Sei $B \in \mathbb{R}^{n \times d}$ beliebig. Setze

$$V_k := \operatorname{span}\{v_1, \dots, v_k\} \text{ und } W := \operatorname{span}\{b_1, \dots, b_n\} \text{und } \check{V} := \operatorname{span}\{\check{a}_1, \dots, \check{a}_n\},$$

wobei $b_i \in \mathbb{R}^d$ derjenige Vektor ist, der durch die Einträge der *i*-ten Zeile von B gegeben ist. Nach Satz 7.12 ist V_k ein k-bestpassender Unterraum für $\{a_1, \ldots, a_n\}$. Wir behaupten, dass $\check{V} = V_k$ gilt. Nach Satz 7.17(ii) haben wir $\check{a}_i \in V_k$ für $i = 1, \ldots, n$, also $\check{V} \subseteq V_k$. Die Gleichheit folgt dann aus dim $\check{V} = \operatorname{rk} \check{A} = k = \dim V_k$. Wir erhalten damit für jedes $i = 1, \ldots, n$ die Abschätzungen

$$||A - B||_{\mathcal{F}}^{2} = \sum_{i=1}^{n} ||a_{i} - b_{i}||^{2} \underset{b_{i} \in W}{\geqslant} \sum_{i=1}^{n} ||a_{i} - \pi_{W}(a_{i})||^{2} \underset{V_{k} \text{ k-best passend für } a_{1}, \dots, a_{n}}{\uparrow} ||a_{i} - \pi_{V_{k}}(a_{i})||^{2}$$

$$\underset{\text{5.1.7(ii)}}{=} \sum_{i=1}^{n} \|a_i - \check{a}_i\|^2 = \|A - \check{A}\|_{\text{F}}^2$$

was den Beweis abschließt.

- Seite 106, Zeile 3: $\forall i, j \in \{1, ..., n\}$: $\left| \|T_{V_k} a_i T_{V_k} a_j\| \|a_i a_j\| \right| \le 2 \left(\sum_{\ell=k+1}^r \sigma_\ell\right)^{1/2}$
- Seite 107, Zeile −1 bis Seite 108, Zeile 1:

$$A = \begin{bmatrix} 0.07 & 0.29 & 0.32 & 0.51 & 0.66 & 0.18 & -0.23 \\ 0.13 & -0.02 & -0.01 & -0.79 & 0.59 & -0.02 & -0.06 \\ 0.68 & -0.11 & -0.05 & -0.25 & -0.33 & -0.09 & 0.11 \\ 0.15 & 0.59 & 0.65 & -0.25 & -0.33 & -0.09 & 0.11 \\ 0.41 & -0.07 & -0.03 & 0.10 & -0.02 & -0.78 & -0.43 \\ 0.07 & 0.73 & -0.67 & 0.00 & -0.00 & 0.00 & 0.00 \\ 0.05 & -0.09 & -0.04 & 0.17 & -0.11 & 0.78 \end{bmatrix} \begin{bmatrix} 12.4 & 0.0 & 0.0 & 0.0 & 0.0 & 0.0 \\ 0.0 & 9.5 & 0.0 & 0.0 & 0.0 & 0.0 \\ 0.0 & 0.0 & 0.0 & 0.0 & 0.0 & 0.0 \\ 0.0 & 0.0 & 0.0 & 0.0 & 0.0 \\ 0.0 & 0.0 & 0.0 & 0.0 & 0.0 \\ 0.0 & 0.0 & 0.0 & 0.0 & 0.0 \\ 0.0 & 0.0 & 0.0 & 0.0 & 0.0 \\ 0.0 & 0.0 & 0.0 & 0.0 & 0.0 \\ 0.0 & 0.0 & 0.0 & 0.0 & 0.0 \\ 0.0 & 0.0 & 0.0 & 0.0 & 0.0 \\ 0.0 & 0.0 & 0.0 & 0.0 & 0.0 \\ 0.0 & 0.0 & 0.0 & 0.0 & 0.0 \\ 0.0 & 0.0 & 0.0 & 0.0 & 0.0 \\ 0.0 & 0.0 & 0.0 & 0$$

■ Seite 108, Zeile 5:

$$\check{A} = \begin{bmatrix} 0.15 & 1.97 & 0.15 & 1.97 & 0.56 \\ 0.92 & 0.01 & 0.92 & 0.01 & 0.94 \\ 4.84 & 0.03 & 4.84 & 0.03 & 4.95 \\ 0.36 & 4.03 & 0.36 & 4.03 & 1.20 \\ 2.92 & -0.00 & 2.92 & -0.00 & 2.98 \\ -0.34 & 4.86 & -0.34 & 4.86 & 0.65 \\ 3.92 & 0.02 & 3.92 & 0.02 & 4.00 \end{bmatrix} = \begin{bmatrix} 0.07 & 0.29 \\ 0.13 & -0.02 \\ 0.68 & -0.11 \\ 0.15 & 0.59 \\ 0.41 & -0.07 \\ 0.07 & 0.73 \\ 0.55 & -0.09 \end{bmatrix} \begin{bmatrix} 12.4 \\ 9.5 \end{bmatrix} \begin{bmatrix} 0.56 & 0.09 & 0.56 & 0.09 & 0.59 \\ -0.12 & 0.69 & -0.12 & 0.69 & 0.02 \end{bmatrix}$$

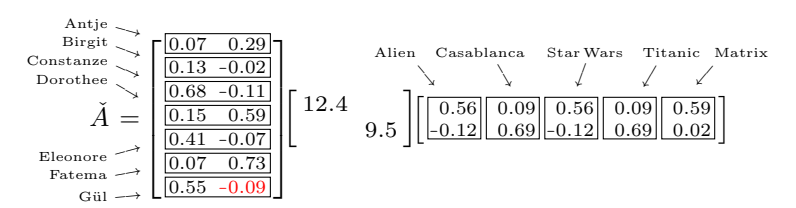
■ Seite 109, Zeile 16:

$$= \begin{bmatrix} 0 \ 1 \ 0 \ \cdots 0 \end{bmatrix} \begin{bmatrix} 0.07 & 0.29 & \cdots & -0.23 \\ 0.13 & -0.02 & & -0.06 \\ 0.68 & -0.11 & & -0.35 \\ 0.15 & 0.59 & & 0.11 \\ 0.41 & -0.07 & & -0.43 \\ 0.07 & 0.73 & & 0.00 \\ 0.55 & -0.09 & \cdots & 0.73 \\ \end{bmatrix} \begin{bmatrix} 12.4 \\ 9.5 \\ 1.3 \\ \cdots \end{bmatrix} \begin{bmatrix} 0.56 & 0.09 & 0.56 & 0.09 & 0.59 \\ -0.12 & 0.69 & -0.12 & 0.69 & 0.02 \\ \vdots & & & \vdots & \vdots \\ 0.48 & -0.51 & -0.48 & 0.51 & 0.00 \\ \end{bmatrix} \begin{bmatrix} 0 \\ \vdots \\ 0 \\ 1 \end{bmatrix}$$

■ Seite 109, Zeile -2:

$$u_2 = 0.29 \cdot \text{Antje} - 0.02 \cdot \text{Birgit} + \cdots - 0.09 \cdot \text{G\"{u}}$$

■ Seite 111, Zeile 12:



- Seite 110, Zeile 7: \mathbb{R}^5
- \blacksquare Seite 112, Zeile 1: . . . und $\check{\mathcal{V}} = \{v_1, v_2\}$. . .
- Seite 112, Zeile 5: $(\text{Film})_{\mathfrak{F}} \quad \mathbb{R}_{\mathfrak{F}} \xrightarrow{A} \mathbb{R}_{\mathfrak{B}} \quad (\text{Bewerterin})_{\mathfrak{B}}$
- Seite 111, Zeile 4: *R* (statt R)
- Seite 112, Zeilen 14 und 25: *R* (statt R)
- Seite 112, Zeile −3: ...die Daten erst einem geeigneten Pre- oder Postprocessing zu unterziehen ...
- Seite 122, Zeile 3 in Gleichung (8.2): $d \cdot \left(\frac{1}{\sqrt{2\pi}} \int_{\mathbb{R}} x^4 \exp(-x^2/2) dx V(X_1)^2\right)$
- Seite 123, Zeile 13: erhalten wir $E(S_d) = 0$
- Seite 123, Zeile -5: $= 2\sqrt{d} E(\|X\| \sqrt{d})$
- Page 124, Line 8: **Satz 8.2.** Seien $X, Y \sim \mathcal{N}(0, 1, \mathbb{R}^d)$ unabhängig. Dann gelten (i) $\forall d \in \mathbb{N} : |\mathbf{E}(\|X - Y\| - \sqrt{2d})| \leq 1/\sqrt{2d}$,
- Seite 125, Zeile -3: $H_d(1)$
- Seite 129, Zeile -1: $0 < \varepsilon < 1$
- Seite 131, Zeile 9: $H_{\delta,x_1} = \{(x_2,\ldots,x_d \in \mathbb{R}^{d-1} \mid (x_1,x_2,\ldots,x_d) \in H_{\delta}\}$
- Seite 134, Zeile 9: Für solche Zufallsvektoren erhält man ...

- Seite 139, Zeile $-1: ||X^{(i)}|| \approx 1$
- Seite 142, Zeile -7: Beweis. Wir setzen $Y_1 + \cdots + Y_d$ und \dots
- Seite 142, letzer Ausdruck in Gleichung (10.1): $= e^{-ta} \prod_{i=1}^{d} E(e^{tY_i})$
- Seite 145, Zeilen 4 8:

$$\begin{split} \mathbf{P} \big[\big| \|X\| - \sqrt{d} \, \big| > &\varepsilon \big] \; \leqslant \; \mathbf{P} \big[\big| \|X\| - \sqrt{d} \, \big| \cdot (\|X\| + \sqrt{d}) \geqslant \varepsilon \cdot \sqrt{d} \big] \\ &= \; \mathbf{P} \big[\big| X_1^2 + \dots + X_d^2 - d \, \big| \geqslant \varepsilon \sqrt{d} \big] \\ &= \; \mathbf{P} \big[\big| (X_1^2 - 1) + \dots + (X_d^2 - 1) \, \big| \geqslant \varepsilon \sqrt{d} \big] \\ &= \; \mathbf{P} \big[\big| \frac{X_1^2 - 1}{2} + \dots + \frac{X_d^2 - 1}{2} \, \big| \geqslant \frac{\varepsilon \sqrt{d}}{2} \big] \\ &= \; \mathbf{P} \big[\big| Y_1 + \dots + Y_d \big| \geqslant a \big], \end{split}$$

- Seite 145, Zeile 12: ① Die Y_i sind paarweise unabhängig nach Fakt 10.1(i).
- Seite 146, Zeile 5: $P[||X|| \sqrt{d}| \ge \varepsilon]$
- Seite 154, Zeile −10:

$$P\left[\left|\left\langle \frac{u_i}{\|u_i\|}, \frac{u_j}{\|u_j\|}\right\rangle\right| \leqslant \varepsilon\right] \geqslant 1 - \frac{2/\varepsilon + 7}{\sqrt{d}}.$$

- Seite 164, Zeile −17: ... der Abstand der Mittelpunkte, ...
- Seite 167, Zeile 5–7: Im Fall der Varianz sind diese eher technisch, und wir formulieren daher im Satz für die Varianz nur die sich ergebende qualitative asymptotische Aussage.
- Seite 183, Zeile -1: Wenn D linear trennbar ist, ...
- Seite 186, Zeile 8: ___return $w^{(j)}$
- Seite 189, Zeile -5: $(x,y) \in D$
- Seite 190, Zeile 14–15: ... die Worte "Bonus", "Vertrag", "das" und "Mensa" ...
- Seite 193, Zeile 6: $\cdots = \langle w', x_0 (\langle w', x_0 \rangle + b')w' \rangle + b'$
- Seite 193, Zeile 12: $\geq ||x_0 x_1||^2 + 2\langle (\langle w', x_0 \rangle + b')w', x_1 x \rangle$
- Seite 193, Zeile 13: = $||x_0 x_1||^2 + 2(\langle w', x_0 \rangle + b')\langle w', x_1 x \rangle$
- Seite 194, Zeilen -2 und -1: $\mathcal{R}(D)$, $\mathcal{K}(D)$
- Seite 194. Zeile -1: $h: \mathbb{R}^d \to \mathbb{R}^d$
- Seite 195, Zeilen 2, 4, 5, 9, 10, 12, 15 und 20: $\mathcal{R}(D)$, $\mathcal{K}(D)$
- Seite 196, Zeilen 6–8, 12 und 13: $\mathcal{R}(D)$, $\mathcal{K}(D)$
- Seite 198, Zeile 6: $(w^*, b^*) \in M$
- Seite 198, Zeile 11–16: Es folgt also nach Proposition 17.14, dass $w_1^* = w_2^* =: w^*$ ist. Gelte ohne Einschränkung $b_1^* < b_2^*$. Dann wählen wir für $\frac{(w^*, b_1^*)}{(w^*, b_1^*)}$ und $\frac{i}{(w^*, b_2^*)}$ jeweils i_1 und einen Index i wie in Teil (2) und erhalten

$$y_i(\langle w^*, x_i \rangle + b_1^*) = \langle w^*, x_i \rangle + b_1^* < \langle w^*, x_i \rangle + b_2^* = 1$$

im Widerspruch dazu, dass (w^*, b_1^*) in M liegt. Ist $b_1^* > b_2^*$, so vertauschen wir die Rollen von i_1 und i_2 .

- Seite 198, Zeile -11, -8 und -4: $\mathcal{R}(D)$, $\mathcal{K}(D)$
- Seite 199, Zeile 13: ... über die im Satz angegebene Menge zu minimieren, ...
- Seite 200, Zeile 7: $L(x, \theta, \mu) := f(x) \sum_{i=1}^{q} \theta_i g_i(x) + \frac{\mu}{\mu} \sum_{i=r}^{q} \mu_i h_j(x)$
- Seite 200, Zeile 18: ..., ist x^* ein Minimierer des oben angegebenen Optimierungsproblems ...
- Seite 203, Zeile 17: ... ist es möglich, i_0 mit $\lambda_{i_0} \neq 0$...
- Seite 206, Zeile 7: $D_1 = \{(x_i, y_i) \mid i = 1, 6, 7\}$ und $D_2 = \{(x_i, y_i) \mid i = 1, 6, 11\}$
- Seite 206, Zeile 8: Durch Streichen von Nullen in Beispiel 14.15(i) und Lösung des Optimierungsproblems für D_2 erhalten wir . . .

- Seite 206, Zeile 12: 0.349 0.439
- Seite 207, Zeile 4 (in den Bildern): $D_1 \cdots D_2$
- Seite 207, Zeilen 12 und 13: λ_i^{\star}
- Seite 208, Zeile 13: ... und Satz 14.12(ii) ist [GK02, Satz 2.46].
- Seite 209, Zeile -6: ..., wenn man einen der Punkte x_6^* , x_7^* , oder x_{11}^* weglässt?
- Seite 216, Zeile −14: ..., sodass $y_i(\langle w, x_i \rangle + b) \ge 1$ für
- Seite 220, Zeile 16: ... mit $\lambda_{i_0}^* \neq 0$ ist ...
- Seite 220, Zeile 18: ... Wahl von λ^* und ...
- Seite 224, Zeile 6: Haben wir also $\langle f, f \rangle = 0$ für alle $x \in X$, so ist ...
- Seite 224, Zeile −10: ... positive Semidefinitheit der Gram-Matrix ...
- Seite 226, Zeile 12: Geben Sie an, welche $x \in \mathbb{R}$ vom zurückgezogenen Klassifizierer ...
- Seite 230, Zeile 15: die Rectified Linear Unit
- Seite 231, Zeile −4: ... Neuronen aus Proposition 16.2 zusammensetzen
- Seite 232, Zeile 3: ...sonst,
- Seite 232, Zeile 6 7: ... ist es manchmal von Vorteil ...
- Seite 233, Zeile 14: Alternativ erhält man mit Sigmoid-Aktivierung, ...
- Seite 236, Zeile 9: B ist die Matrix ohne das $(\cdot)^{-1}$.
- Seite 239, Zeile 15: $\mathcal{F}(f_1 * f_2) = \mathcal{F}f_1 \cdot \mathcal{F}f_2$
- Seite 241, Zeile 10: $\forall w \in \mathbb{R}^n$, $b \in \mathbb{R}$: $\int_{\Omega} \sigma(wx + b) + \ell d\mu(x) = 0$
- Seite 241, Zeile −5: $\forall w \in \mathbb{R}^n$, $b \in \mathbb{R}$: $\int_{\Omega} \sigma(wx+b) d\mu(x) = 0$
- Seite 246, Zeile 3: Da Ω kompakt ist, existiert $c_0 \ge 0$ mit $a_1 f_1 + \cdots + a_i f_i + c_0 \ge 0$ auf Ω für alle $i=1,\ldots,\ell$. Wir konstruieren ...
- Seite 262, Zeile 1–4: Den Rieszschen Darstellungssatz in der Version 16.19 kann man in [Wer18, Theorem II.2.5] nachlesen, die andere Version 16.16, oft auch Riesz-Markov-Theorem genannt, findet man in [Rud87, Theorem 6.19].
- Seite 270, Zeile 14: Dann gilt $h'(t) = \langle \nabla f(y + t(x y)), x y \rangle \dots$
- Seite 270, Zeile 16: $\cdots = \int_0^1 \langle \nabla f(y + t(x y)), x y \rangle dt$
- Seite 270, Zeile 18: $\cdots = \int_0^1 \langle \nabla f(y + t(x y)), x y \rangle \langle f(y), x y \rangle dt$
- Seite 270, Zeile −1: ... mithilfe von Proposition 17.4 ...
- Seite 271, Zeile 14: Folgerung 17.10. Sei $f: \mathbb{R}^n \to \mathbb{R}$ differenzierbar und konvex.
- Seite 271, Zeile 18–19: (i)⇒(ii): Aus der Konvexität folg die erste Ungleichung mit Proposition 17.4 und ...
- Seite 271, Zeile 20: (ii)⇒(i): Die erste Ungleichung impliziert Konvexität mit Propsition 17.4 und ...
- Seite 272, Zeile 16: Aus Lemma 17.9 und Proposition 17.4 folgern wir
- Seite 272, Zeile 20:

- Seite 275, Zeile −2: Dann gilt wegen
- Seite 277, Zeile −10: mit Proposition 17.4
- Seite 278, Zeile 8: Dies ist nach Proposition 17.4 äquivalent zu
- Seite 278, Zeile 18: Ein Vergleich der Abschätzung in Proposition 17.4 zeigt nochmal ...
- Seite 279, Zeile 13:

- Seite 283, Zeile -9: 4: $x^{(k+1)} \leftarrow x^{(k)} \gamma_k \nabla f(x^{(k)})$.
- Seite 286, Zeile 6: (ii) Für $A, B \in \Sigma$ mit $P(B) \neq 0$ heißt $P(A|B) := \frac{P(A \cap B)}{P(B)}$
- Seite 287, Zeile 19:

$$\rho(x) = \frac{1}{(2\pi\sigma^2)^{d/2}} e^{-\frac{\|x-\mu\|^2}{2\sigma^2}} \quad \text{bzw.} \quad \rho(x) = \frac{1}{\lambda^{d}(B)} \cdot \mathbb{1}_B(x),$$

- Seite 290, Zeile -5: Für $A = A_1 \times \cdots \times A_d \subseteq \mathbb{R}^d$ mit $A_i \in \mathcal{B}^{\mathbf{d}}$ berechnen wir
- Seite 292, Zeile 2:

$$(\rho_{1} * \rho_{2})(s) = \frac{1}{2\pi\sqrt{ab}} \int_{\mathbb{R}} \exp\left(-\frac{(s-t)^{2}}{2a}\right) \exp\left(-\frac{t^{2}}{2b}\right) dt$$

$$= \frac{1}{2\pi\sqrt{ab}} \int_{\mathbb{R}} \exp\left(-\frac{b(s^{2} - 2st + t^{2}) + at^{2}}{2ab}\right) dt$$

$$= \frac{1}{2\pi\sqrt{ab}} \int_{\mathbb{R}} \exp\left(-\frac{t^{2}(b+a) - 2stb + bs^{2}}{2ab}\right) dt$$

$$= \frac{1}{2\pi\sqrt{ab}} \int_{\mathbb{R}} \exp\left(-\frac{t^{2}(b+a)/c - 2stb/c + bs^{2}/c}{2ab/c}\right) dt$$

$$= \frac{1}{\sqrt{2\pi c}\sqrt{2\pi(ab/c)}} \int_{\mathbb{R}} \exp\left(-\frac{(t - (bs)/c)^{2} - (sb/c)^{2} + s^{2}(b/c)}{2ab/c}\right) dt$$

$$= \frac{1}{\sqrt{2\pi c}} \exp\left(+\frac{(sb/c)^{2} - s^{2}(b/c)}{2ab/c}\right) \frac{1}{\sqrt{2\pi(ab/c)}} \int_{\mathbb{R}} \exp\left(-\frac{(t - (bs)/c)^{2}}{2ab/c}\right) dt$$

$$= \frac{1}{\sqrt{2\pi c}} \exp\left(+\frac{(sb/c)^{2}c^{2} - s^{2}(b/c)c^{2}}{2abc}\right)$$

$$= \frac{1}{\sqrt{2\pi c}} \exp\left(+\frac{s^{2}(b^{2} - bc)}{2abc}\right)$$

$$= \frac{1}{\sqrt{2\pi c}} \exp\left(-\frac{s^{2}}{2c}\right),$$

■ Seite 296, Zeile −14: S. Shalev-Shwartz und S. Ben-David, Understanding